

View Opti Beam Lens rotondo

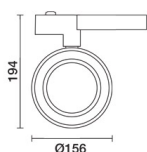
Design iGuzzini /
Arup

iGuzzini

Ultimo aggiornamento delle informazioni: Maggio 2024

Configurazione di prodotto: Q313

Q313: proiettore rotondo corpo grande - medium



Codice prodotto

Q313: proiettore rotondo corpo grande - medium

Descrizione tecnica

Proiettore per interni orientabile con adattatore per installazione su binario trifase /DALI. Apparecchio realizzato in alluminio pressofuso e parte frontale in materiale termoplastico. La doppia orientabilità del proiettore permette una rotazione di 360° attorno l'asse verticale e una inclinazione di 90° sul piano orizzontale. Vano ottico formato da LED in tonalità di colore warm White 3000K CRI90 con tecnologia OPTIBEAM LENS, fascio luminoso medium. Driver dimmerabile DALI integrato su scatola con sistema a semi-scomparsa sul binario. Possibilità di installazione di diversi accessori piani come OPTIBEAM REFRACTOR per la variazione della distribuzione luminosa, rifrattore per distribuzione ellittica, frangiglucce, soft lens e un accessorio esterno come la visiera asimmetrica in grado di evitare dispersione di luce parassita sul soffitto.

Installazione

A binario elettrificato trifase / DALI

Colore

Nero (04) | Bianco/Nero (47)

Peso (Kg)

1.66

Montaggio

binario dal|binario trifase

Cablaggio

Prodotto completo di componentistica dimmerabile DALI, alloggiata su scatola a semi-scomparsa nel binario.

Soddisfa EN60598-1 e relative note



Dati tecnici

| | | | |
|--|------|------------------------------------|--|
| Im di sistema: | 2718 | Temperatura colore [K]: | 3000 |
| W di sistema: | 29.2 | MacAdam Step: | 2 |
| Im di sorgente: | 3160 | Life Time LED 1: | > 50,000h - L90 - B10 (Ta 25°C) |
| W di sorgente: | 24 | Codice lampada: | LED |
| Efficienza luminosa (lm/W, dati di sistema): | 93.1 | Numero di lampade per vano ottico: | 1 |
| Im in modalità emergenza: | - | Codice ZVEI: | LED |
| Flusso totale emesso a 90° o superiore [Lm]: | 0 | Numero di vani ottici: | 1 |
| Light Output Ratio (L.O.R.) [%]: | 86 | Power factor: | Vedi istruzioni di installazione |
| Angolo di apertura [°]: | 28° | Protezione alle sovratensioni: | 2kV Modo comune e 1kV Modo differenziale |
| CRI (minimo): | 90 | Control: | DALI-2 |

Polare

| Imax=9748 cd | Lux | | | |
|--------------|-----|---|------|------|
| | h | d | Em | Emax |
| | 2 | 1 | 1965 | 2437 |
| | 4 | 2 | 491 | 609 |
| | 6 | 3 | 218 | 271 |
| | 8 | 4 | 123 | 152 |

Isolux

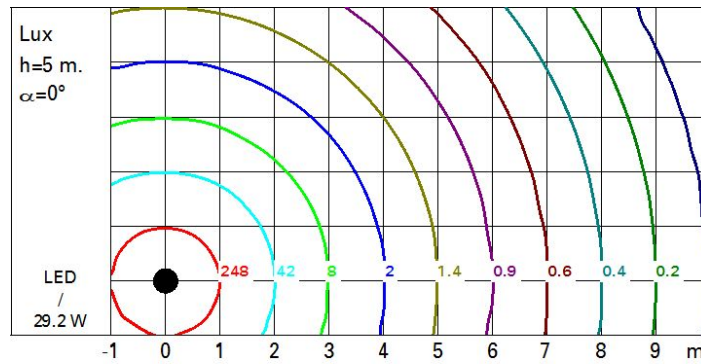


Diagramma UGR

| Corrected UGR values (at 3160 lm bare lamp luminous flux) | | | | | | | | | | | |
|---|------|------------------|------|------|------|------|----------------|------|------|------|------|
| Reflect.: | | viewed crosswise | | | | | viewed endwise | | | | |
| ceiling | cav | 0.70 | 0.70 | 0.50 | 0.50 | 0.30 | 0.70 | 0.70 | 0.50 | 0.50 | 0.30 |
| walls | | 0.50 | 0.30 | 0.50 | 0.30 | 0.30 | 0.50 | 0.30 | 0.50 | 0.30 | 0.30 |
| work pl. | | 0.20 | 0.20 | 0.20 | 0.20 | 0.20 | 0.20 | 0.20 | 0.20 | 0.20 | 0.20 |
| Room dim | | viewed crosswise | | | | | viewed endwise | | | | |
| x | y | | | | | | | | | | |
| 2H | 2H | 15.5 | 17.5 | 15.9 | 17.8 | 18.1 | 15.5 | 17.5 | 15.9 | 17.8 | 18.1 |
| | 3H | 16.4 | 17.9 | 16.8 | 18.2 | 18.6 | 15.9 | 17.4 | 16.2 | 17.7 | 18.0 |
| | 4H | 16.7 | 18.0 | 17.1 | 18.3 | 18.6 | 16.0 | 17.3 | 16.3 | 17.6 | 17.9 |
| | 6H | 16.9 | 17.9 | 17.2 | 18.2 | 18.6 | 16.0 | 17.0 | 16.4 | 17.4 | 17.7 |
| | 8H | 16.9 | 17.9 | 17.3 | 18.2 | 18.6 | 16.0 | 17.0 | 16.4 | 17.3 | 17.7 |
| | 12H | 16.9 | 17.8 | 17.3 | 18.2 | 18.6 | 15.9 | 16.9 | 16.3 | 17.3 | 17.7 |
| 4H | 2H | 16.0 | 17.3 | 16.3 | 17.6 | 17.9 | 16.7 | 18.0 | 17.1 | 18.3 | 18.6 |
| | 3H | 17.0 | 18.0 | 17.4 | 18.4 | 18.7 | 17.2 | 18.2 | 17.6 | 18.5 | 18.9 |
| | 4H | 17.3 | 18.3 | 17.8 | 18.7 | 19.1 | 17.3 | 18.3 | 17.8 | 18.7 | 19.1 |
| | 6H | 17.3 | 18.9 | 17.8 | 19.3 | 19.8 | 17.2 | 18.8 | 17.7 | 19.2 | 19.7 |
| | 8H | 17.3 | 19.0 | 17.7 | 19.5 | 20.0 | 17.1 | 18.9 | 17.6 | 19.3 | 19.8 |
| | 12H | 17.2 | 19.0 | 17.7 | 19.5 | 20.0 | 17.0 | 18.9 | 17.5 | 19.3 | 19.8 |
| 8H | 4H | 17.1 | 18.9 | 17.6 | 19.3 | 19.8 | 17.3 | 19.0 | 17.7 | 19.5 | 20.0 |
| | 6H | 17.3 | 19.0 | 17.9 | 19.5 | 20.0 | 17.4 | 19.1 | 17.9 | 19.6 | 20.1 |
| | 8H | 17.4 | 19.0 | 18.0 | 19.4 | 20.0 | 17.4 | 19.0 | 18.0 | 19.4 | 20.0 |
| | 12H | 17.6 | 18.7 | 18.1 | 19.2 | 19.7 | 17.6 | 18.7 | 18.1 | 19.2 | 19.7 |
| 12H | 4H | 17.0 | 18.9 | 17.5 | 19.3 | 19.8 | 17.2 | 19.0 | 17.7 | 19.5 | 20.0 |
| | 6H | 17.4 | 18.9 | 17.9 | 19.4 | 19.9 | 17.4 | 18.9 | 17.9 | 19.4 | 19.9 |
| | 8H | 17.6 | 18.7 | 18.1 | 19.2 | 19.7 | 17.6 | 18.7 | 18.1 | 19.2 | 19.7 |
| Variations with the observer position at spacing: | | | | | | | | | | | |
| S = | 1.0H | 0.4 / -0.3 | | | | | 0.4 / -0.3 | | | | |
| | 1.5H | 1.0 / -0.9 | | | | | 1.0 / -0.9 | | | | |
| | 2.0H | 1.7 / -1.4 | | | | | 1.7 / -1.4 | | | | |